

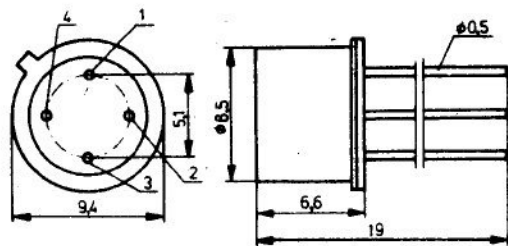
## Wykaz oznaczeń parametrów technicznych

E	natężenie oświetlenia	$U_{CE \text{ sat}}$	napięcie nasycenia kolektor-emiter
$E_e$	natężenie promieniowania	$U_{EC}$	napięcie emiter-kolektor
$f_T$	częstotliwość graniczna	$U_F$	napięcie przewodzenia
$I_e$	gęstość promieniowania	$U_n$	napięcie szumów fotorezystora
$I_F$	prąd przewodzenia	$U_R$	napięcie wsteczne
$I_{FI}$	prąd wejściowy transoptora	$U_{RI}$	napięcie wejściowe transoptora
$I_L$	prąd jasny	$U_{RO}$	napięcie wsteczne na wyjściu transoptora
$I_O$	prąd ciemny	$\Delta\lambda$	szerokość charakterystyki widmowej
$I_P$	fotoprąd	$\lambda$	długość fali promieniowanej
$I_R$	prąd wsteczny	$\lambda_{opt}$	długość fali odpowiadająca maksimum charakterystyki widmowej
$I_V$	światłość	$/\lambda_1, \lambda_2/$	widmowy zakres pracy
$I_{VS}$	światłość segmentu		
K	stałoprądowy współczynnik wzmożenia prądowego		
NEP	moc równoważna szumowi		
$P_e$	moc promieniowania		
$P_{tot}$	moc całkowita		
$R_L$	rezystancja jasna fotorezystora		
$R_O$	rezystancja ciemna fotorezystora		
S	czułość fotorezystora		
$S_{I\lambda}$	czułość prądowa na promieniowanie monochromatyczne		
$S_{I\varphi}$	czułość prądowa na światło białe		
T	temperatura		
$t_{amb}$	temperatura otoczenia w czasie pracy		
$T_b$	temperatura barwowa źródła światła		
$t_f$	czas opadania		
$t_r$	czas narastania		
$t_{ro}$	czas narastania impulsu wyjściowego transoptora		
$t_{stg}$	temperatura przechowywania		
U	napięcie pracy fotorezystora		
$U_{/BR/IO}$	napięcie przebicia wejście-wyjście transoptora		
$U_{CE}$	napięcie kolektor-emiter		

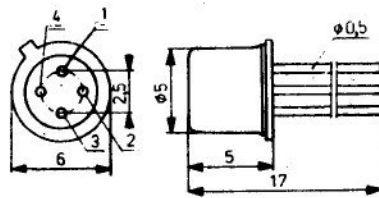
# Transoptory

Oznaczenie wyrobu	Parametry dopuszczalne							Parametry charakterystyczne			Zastosowanie	Obudowa
	$I_{FI}$	$U_{RI}$	$U_{CE} / U_{RO}$	$P_{tot}$	$U_{BR/IO}$	$t_{amb}$	$t_{stg}$	$K$	$U_{CE sat}$	$t_{ro}$		
	mA	V	V	mW	kV	$^{\circ}C$	$^{\circ}C$	%	V	$\mu s$		
1	2	3	4	5	6	7	8	9	10	11	12	13
CNMP 11	$\leq 40$	$\leq 3$	$\leq 8$	$\leq 80$	0,5	-40 ... +55	-40 ... +70	$\geq 8$	$\leq 0,5$	$\leq 10$	układy elektroniczne wymagające galwanicznego oddzielenia wejścia od wyjścia	CE 25
CNMP 22	$\leq 40$	$\leq 3$	$\leq 8$	$\leq 80$	1,5	-40 ... +55	-40 ... +70	$\geq 8$	$\leq 0,5$	$\leq 10$		CO 02
CNMP 63 <sup>x</sup>	$\leq 60$	$\leq 3$	$\leq 32$	$\leq 150$	4,0	-40 ... +70	-40 ... +85	$\geq 40$	$\leq 0,4$	$\leq 5$		CE 93
CNMP 67 <sup>x</sup>	$\leq 40$	$\leq 3$	$\leq 8$	$\leq 80$	4,0	-40 ... +55	-40 ... +70	$\geq 10$	$\leq 0,5$	$\leq 10$		CE 93
CNRP 22	$\leq 40$	$\leq 3$	/ $\leq 50$ /		1,5	-40 ... +70	-40 ... +70	$\geq 0,08$		$\leq 5$		CO 02
CNSP 16	$\leq 40$	$\leq 3$	$\leq 25$	$\leq 150$	5,0	-40 ... +55	-40 ... +70	A: $\geq 50$ B: $\geq 300$	$\leq 1,2$	$\leq 900$		CO 31
CNSP 17	$\leq 40$	$\leq 3$	$\leq 25$	$\leq 100$	0,5	-40 ... +55	-40 ... +70	A: $\geq 100$ B: $\geq 300$ C: $\geq 1000$	$\leq 1,2$	$\leq 900$		CE 25
CNSP 18	$\leq 50$	$\leq 3$	$\leq 15$	$\leq 50$	10,0	-40 ... +55	-40 ... +70	$\geq 10$	$\leq 0,5$	$\leq 10$		CO 41
CQ 11BP	$\leq 40$	$\leq 3$	$\leq 8$	$\leq 20$	0,5	-40 ... +55	-40 ... +55	$\geq 5$	$\leq 0,5$	$\leq 10$		CE 25
CQ 12BP	$\leq 40$	$\leq 3$	$\leq 8$	$\leq 20$	1,5	-40 ... +55	-40 ... +55	$\geq 5$	$\leq 0,5$	$\leq 10$		CO 02
CQ 13BP	$\leq 60$	$\leq 3$	$\leq 8$	$\leq 90$	5,0	-25 ... +55	-25 ... +70	$\geq 10$	$\leq 0,5$	$\leq 10$	CO 31	
CQ 15BP	$\leq 40$	$\leq 3$	$\leq 8$	$\leq 80$	0,5	-40 ... +55	-40 ... +70	$\geq 15$	$\leq 0,5$	$\leq 10$	CE 25	
CQ 22BP	$\leq 100$	$\leq 3$	/ $\leq 50$ /		1,5	-40 ... +70	-40 ... +70	$\geq 0,05$		$\leq 1$	CO 02	

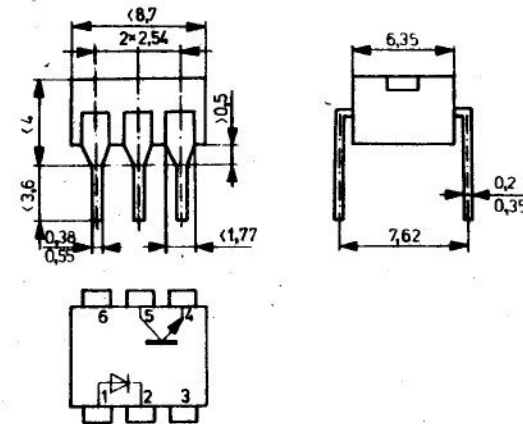
<sup>x</sup> nowe uruchomienia



CO 02



CE 25



CNMP67